

1.7.1 电介质极化机制和球状原子的电子位移极化率

◆电介质极化机制

组成宏观物体的大量粒子，由于热运动的原因，粒子的取向处于混乱状态，无论粒子本身是否具有电矩，由于热运动平均的结果，使粒子对宏观电极化的贡献总是等于零。

1.7.1 电介质极化机制和球状原子的电子位移极化率

◆电介质极化机制

只有在外加电场的作用下，粒子才会沿电场方向，贡献一个可以累加起来，并显示出宏观极化强度的电矩；

1.7.1 电介质极化机制和球状原子的电子位移极化率

◆电介质极化机制

在宏观外加电场的作用，比起结构粒子（复合粒子）内部的相互作用要小的多的情况下，作用在粒子上的局域电场使粒子极化而产生电偶极矩。

1.7.1 电介质极化机制和球状原子的电子位移极化率

◆电介质极化机制

存在线性关系：

$$\vec{\mu} = \alpha \vec{E}_e$$

1.7.1 电介质极化机制和球状原子的电子位移极化率

◆电介质极化机制

如果粒子呈球形对称, μ 平行于外电场 E_e , α 是标量, 若粒子一般不是球对称的, μ 不平行于 E_e , α 是关于分子主轴的二阶张量, 此张量有三个主值 $\alpha_1, \alpha_2, \alpha_3$ 。

1.7.1 电介质极化机制和球状原子的电子位移极化率

◆电介质极化机制

α 称极化粒子极化率 (Polarizability) , 一个粒子对极化率 α 的贡献可以有不同的原因:

1、电子云畸变引起的负电荷中心位移产生感应电矩, 称电子位移极化, 其极化率 α_e 。

1.7.1 电介质极化机制和球状原子的电子位移极化率

◆电介质极化机制

2、正负离子中心发生相对位移，发生感应电矩，称离子位移极化，其极化率 α_i 。

3、固有电偶极矩沿外电场方向转向称取向极化，其极化率 α_d 。

1.7.1 电介质极化机制和球状原子的电子位移极化率

◆电介质极化机制

4、实际电介质，因为不均匀，可能存在夹层，也可能存在大量的晶体缺陷，由于电场的作用，载流子在电介质中移动，可能被缺陷捕获；

1.7.1 电介质极化机制和球状原子的电子位移极化率

◆电介质极化机制

或在界面上堆积，造成电荷的积累，使电荷在电介质中分布不均匀，从而产生电偶层，这种极化称空间电荷极化，其极化率 α_s 。

1.7.1 电介质极化机制和球状原子的电子位移极化率

◆电介质极化机制

总的极化率：

$$\alpha = \alpha_e + \alpha_i + \alpha_d + \alpha_s$$

1.7.1 电介质极化机制和球状原子的电子位移极化率

◆电介质极化机制

这四种基本极化机构，有的电介质可能全部具有，有的可能只有其中一种、两种、三种。
前两种极化为位移极化，后两种为弛豫极化。

1.7.1 电介质极化机制和球状原子的电子位移极化率

◆电介质极化机制

电子位移极化是原子或离子在电场作用下，因为电子云畸变，而产生位移。其中，价电子起主要作用。

1.7.1 电介质极化机制和球状原子的电子位移极化率

◆电介质极化机制

电子位移极化对外场的响应时间很短，约 $\tau = 10^{-14} - 10^{-16} \text{s}$ ，这个时间可与电子绕核运动的周期相比拟；

1.7.1 电介质极化机制和球状原子的电子位移极化率

◆电介质极化机制

若所加电场为交变电场，频率高达光频，电子位移极化也来得及响应，因此，电子位移极化又称光频极化。

1.7.1 电介质极化机制和球状原子的电子位移极化率

◆电介质极化机制

在电场作用下，任何电介质都有电子位移极化发生，原子，分子，离子的电子位移极化产生的感应偶极矩：

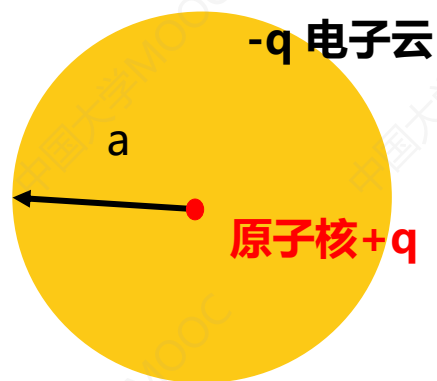
$$\vec{\mu}_e = \alpha_e \vec{E}_e$$

电子位移极化强度：

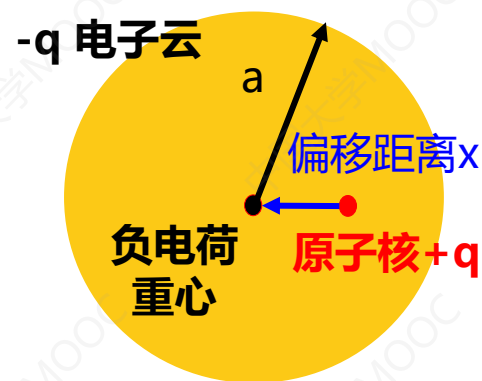
$$\vec{P}_e = n_0 \vec{\mu}_e = n_0 \alpha_e \vec{E}_e$$

1.7.1 电介质极化机制和球状原子的电子位移极化率

◆球状原子模型



无电场时



加电场 E_e

1.7.1 电介质极化机制和球状原子的电子位移极化率

◆球状原子模型

当电子云重心与原子核分离，达成平衡后：

$$qE_e = \frac{q}{4\pi\epsilon_0 x^2} \left(\frac{q}{\frac{4}{3}\pi a^3} \cdot \frac{4}{3}\pi x^3 \right) = \frac{q^2 x}{4\pi\epsilon_0 a^3}$$

$$x = 4\pi\epsilon_0 a^3 E_e / q$$

1.7.1 电介质极化机制和球状原子的电子位移极化率

◆球状原子模型

得到感应偶极矩:

$$\mu_e = qx = 4\pi\epsilon_0 a^3 E_e$$

再有:

$$\mu_e = a_e E_e$$

电子位移极化率:

$$\alpha_e = 4\pi\epsilon_0 a^3$$

1.7.1 电介质极化机制和球状原子的电子位移极化率

◆球状原子模型

原子半径为 a ，对于各种原子，合理的半径约为 10^{-10}m ，如果用宏观平均电场的数量级的电场 $E_e=10^8\text{V/m}$ ，得到 x 的数量级 10^{-14}m ，大约原子半径的 10^{-4} 倍。

1.7.1 电介质极化机制和球状原子的电子位移极化率

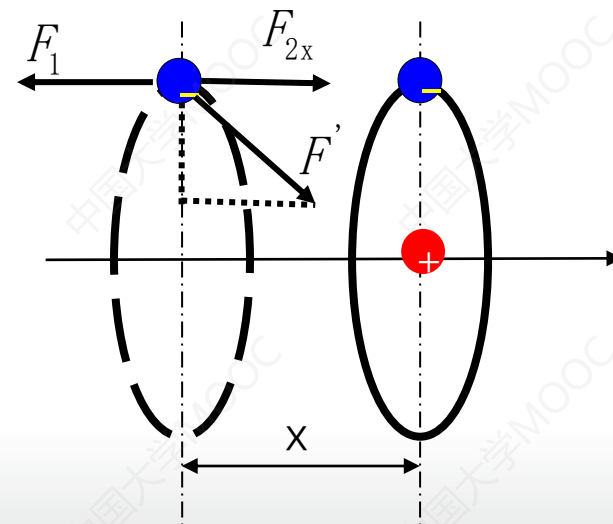
◆球状原子模型

由于 $a \gg x$,一般大小的宏观电场引起的电子云畸变很小。半径越大的原子,其电子云位移极化率一般较大,远离核的外层电子受核的束缚较弱,容易受外电场作用对极化率作出较大贡献。

1.7.1 电介质极化机制和球状原子的电子位移极化率

◆ 圆周轨道模型

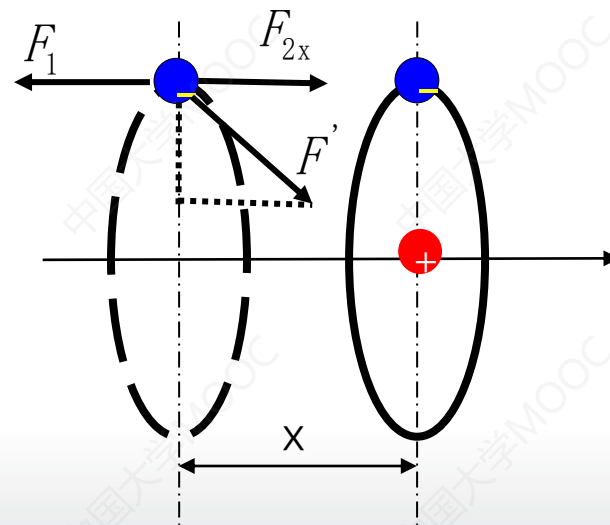
以玻尔原子模型为例，一个点电荷 $-q$ 沿绕核的圆周轨道运行。



1.7.1 电介质极化机制和球状原子的电子位移极化率

◆ 圆周轨道模型

在电场作用下，轨道沿电场反方向移动距离 x ，受电场力作用，电子轨道平面沿反电场方向移动一微小距离 x 。



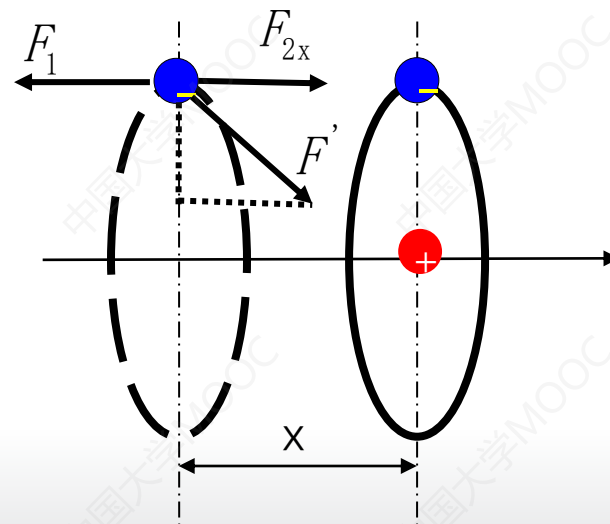
1.7.1 电介质极化机制和球状原子的电子位移极化率

◆ 圆周轨道模型

电子与核间的库仑引力:

$$F = -qE_e$$

$$F_{2x} = \frac{-q^2}{4\pi\epsilon_0(x^2 + a^2)} \frac{x}{(x^2 + a^2)^{1/2}} \approx \frac{-qx}{4\pi\epsilon_0 a^3}$$



1.7.1 电介质极化机制和球状原子的电子位移极化率

◆ 圆周轨道模型

平衡时:

$$F_1 = F_{2x} \quad x = 4\pi\epsilon_0 a^3 E_e / q$$

形成感应偶极矩:

$$\vec{\mu}_e = q\vec{x} \quad \mu_e = 4\pi\epsilon_0 a^3 E_e$$

极化率:

$$\alpha_e = 4\pi\epsilon_0 a^3$$

1.7.1 电介质极化机制和球状原子的电子位移极化率

◆ 圆周轨道模型

这是用经典电动力学的方法，计算的氢原子的电子极化率，与球状模型的结果完全一致，较为严格的量子力学计算的结果： $\alpha_e = \frac{9}{2} 4\pi\epsilon_0 a^3$ 其数量级都是一致的，约 10^{-40}Fm^2 。

1.7.1 电介质极化机制和球状原子的电子位移极化率

◆ 圆周轨道模型

多个同点原子组成的集合，这些原子的电子轨道随机取向，它们的轨道平面不都垂直于电场方向，夹角 θ ，则 \vec{E}_e 在 \vec{n} 方向的分量为 $E_e \cos\theta$ 。

1.7.1 电介质极化机制和球状原子的电子位移极化率

两个轨道平面间距 x ，该原子在 \vec{n}_0 方向的感应电偶极矩 $\mu = qx \cos \theta$ 。

在 \vec{n} 方向为 $x \cos \theta$ ， $\mu = \mu_e \cos \theta$ 。

电场方向的感应偶极矩 $\mu_E = \mu \cos \theta = \mu_e \cos^2 \theta$ 。

该原子集合体在电场方向的平均感应偶极矩
 $\langle \mu_E \rangle = \mu_e \langle \cos^2 \theta \rangle$ 。

1.7.1 电介质极化机制和球状原子的电子位移极化率

取立体角元:

$$d\Omega = 2\pi \sin \theta d\theta$$

又由:

$$\langle \mu_E \rangle = \mu_e \langle \cos^2 \theta \rangle$$

且: $\langle \cos^2 \theta \rangle = \frac{\int_0^\pi \cos^2 \theta d\Omega}{\int_0^\pi d\Omega} = \frac{1}{2} \int_0^\pi \cos^2 \theta \sin \theta d\theta = \frac{1}{3}$

则平均感生偶极矩: $\langle \mu_E \rangle = \frac{1}{3} \mu_e = \frac{4}{3} \pi \epsilon_0 a^3 E_e = V \epsilon_0 E_e$

1.7.1 电介质极化机制和球状原子的电子位移极化率

电子位移极化率（利用圆周轨道模型）：

$$\alpha = \frac{4}{3} \pi \varepsilon_0 a^3 = \varepsilon_0 V$$

如果电场强度足够高，使得所有原子轨道平面垂直于电场方向：

$$\langle \cos^2 \theta \rangle = 1 \quad \longrightarrow \quad \alpha = 4\pi\varepsilon_0 a^3$$

1.7.1 电介质极化机制和球状原子的电子位移极化率

◆ 介质球模型

把原子看成半径 a ，介电常数为 ε 的介质球，这样电介质就相当于许多介球在真空中的集合体，则介质球外电势：

$$\varphi = \left(\frac{\varepsilon - \varepsilon_0}{\varepsilon + 2\varepsilon_0} \frac{a^3}{r^3} - 1 \right) E_0 r \cos \theta$$

1.7.1 电介质极化机制和球状原子的电子位移极化率

↓ **第一项** $\varphi' = \frac{\varepsilon - \varepsilon_0}{\varepsilon + 2\varepsilon_0} \frac{a^3}{r^3} E_0 r \cos \theta$ 且 $\varphi' = \frac{\mu \cos \theta}{4\pi\varepsilon_0 r^2}$

$$\vec{\mu} = 4\pi\varepsilon_0 a^3 \frac{\varepsilon - \varepsilon_0}{\varepsilon + 2\varepsilon_0} \vec{E}_0$$

↓

电子位移极化率（介质球模型）

$$\alpha_e = 4\pi\varepsilon_0 a^3 \frac{\varepsilon - \varepsilon_0}{2\varepsilon_0 + \varepsilon} = \varepsilon_0 V 3(\varepsilon - \varepsilon_0) / (\varepsilon + 2\varepsilon_0)$$

1.7.1 电介质极化机制和球状原子的电子位移极化率

◆球状原子极化率三种经典模型的比较 (记原子体积 $V = \frac{4}{3}\pi a^3$)

序号	模型	条件	$\frac{\alpha_e}{\varepsilon_0 V}$
1	球状原子模型		3
2a	圆周轨道模型	轨道 $\perp E_e$	3
2b	圆周轨道模型	随机取向	1

1.7.1 电介质极化机制和球状原子的电子位移极化率

序号	模型	条件	$\frac{\alpha_e}{\epsilon_0 V}$
3a	介质球模型	$\epsilon_r = 2$	3/4
3b	介质球模型	$\epsilon_r = 3$	6/5
3c	介质球模型	$\epsilon_r = 4$	3/2
3d	介质球模型	$\epsilon_r = \infty$ (金属球)	3

理论计算值与x射线结晶学方法测量值，所确定的原子离子半径比较见表。

1.7.1 电介质极化机制和球状原子的电子位移极化率

- ① 在元素周期表同族元素的原子中，电子位移极化率自上而下地增大。
- ② 同一周期元素中从左至右，电子位移极化率有增有减，如果核外价电子增多，极化率就增大，但库仑力增大又使原子半径可能减小，极化率减小，究竟是增还是减，需视哪种因素占优势。

1.7.1 电介质极化机制和球状原子的电子位移极化率

③ 离子都具有一定的电子结构，故同样可以用电子极化率来表征离子的电子极化能力强弱，随离子半径和价电子数增加而增大，因此负离子的电子位移极化率比正离子大。

1.7.1 电介质极化机制和球状原子的电子位移极化率

④ 由模型估算和实际测量的 α_e 不严格等于 $4\pi\epsilon_0 a^3$ ，凡比值 $\frac{\alpha_e}{4\pi\epsilon_0 a^3}$ 大的粒子对极化都有较大贡献，因为电子位移极化强度 $P_e = n_0 \alpha_e E_e$ ， α_e 值大， P_e 大，如果原子或离子半径 a 较小，单位体积内的极化粒子数 n_0 较大， P_e 亦大， ϵ 亦大。

1.7.1 电介质极化机制和球状原子的电子位移极化率

在工程技术上，要想得到介电常数大的电介质，常常在介质内加入比值 $\frac{\alpha_e}{4\pi\epsilon_0 a^3}$ 大的粒子。这一原则在工程实际中具重要指导意义，例 $\text{Pb}^{2+} : 1.89$, $\text{O}^{2-} : 1.20$, $\text{Ti}^{4+} : 1.04$ 。

由这些离子组成的无机陶瓷材料，一般会有较高的介电常数。

1.7.1 电介质极化机制和球状原子的电子位移极化率

⑤ 电子极化的建立时间极短，约 $10^{-14} \sim 10^{-16} \text{s}$ ，电子极化几乎是瞬时完成的，不产生能量损耗，同时电子极化率 α_e 与温度无关，因为温度变化不会影响原子或离子半径，不足以改变原子或离子中核外电子分布，在恒定电场中，任何电介质都要发生电子位移极化，而不管其物质组成如何。